

# 拡張有限状態機械モデルの通信プロトコルの liveness の検証法

須川 聰<sup>†</sup> 樋口 昌宏<sup>†</sup> 藤井 譲<sup>‡</sup>

<sup>†</sup> 大阪大学基礎工学部 <sup>‡</sup> 大阪大学教養部

e-mail: {sugawa, higuchi, fujii }@ics.es.osaka-u.ac.jp

筆者らは、プロトコル機械が拡張有限状態機械でモデル化され、通信路が非有界 FIFO でモデル化された通信プロトコルの安全性の検証法を提案している。本稿では、同様にモデル化され、上記検証法により安全性が保証されているプロトコルの liveness の検証法を提案する。まず、liveness を初期状態から到達可能な任意の状態からある性質  $Q$  を満たす状態に到達可能であるという性質 ( $Q$ -live 性) として定式化する。安全性の検証によりプロトコル  $\Pi$  の初期状態から到達可能な状態集合が部分集合  $GS_1, GS_2, \dots, GS_n$  に分割されているとする。このとき、各頂点  $v_1, v_2, \dots, v_n$  がそれぞれ  $GS_1, GS_2, \dots, GS_n$  に対応し、 $v_i$  から  $v_j$  への辺があるならば「 $\forall gs \in GS_i \exists gs' \in GS_j \{ gs \text{ から } gs' \text{ に到達可能 } \}$ 」であるような有向グラフ  $DRG_{\Pi}$  を作る。さらに、 $DRG_{\Pi}$  上を探索することにより、 $\Pi$  の  $Q$ -live 性を示す。OSI セッションプロトコルのデータ転送フェーズから抽出したプロトコルの  $Q$ -live 性の検証を行った結果についても述べる。

## A Method for Verifying Liveness of Communication Protocols Modeled as ECFSMs

Satoshi Sugawa<sup>†</sup> Masahiro Higuchi<sup>†</sup> Mamoru Fujii<sup>‡</sup>

<sup>†</sup>Faculty of Engineering Science, <sup>‡</sup>College of General Education,  
Osaka University Osaka University

e-mail: {sugawa, higuchi, fujii }@ics.es.osaka-u.ac.jp

The authors of this paper proposed a method for verifying safety of communication protocols modeled as two ECFSMs with bilateral unbounded FIFO channels connecting them. This paper presents a method for verifying liveness of communication protocols which have been already verified to be safe by the above method. Liveness property can be formulated as  $Q$ -liveness which states "any state reachable from an initial state can reach a state which satisfies some property  $Q$ ". In the proposing verification method, a set of states reachable from an initial state of a given protocol  $\Pi$  is divided into some subsets  $GS_1, GS_2, \dots, GS_n$ . Our method constructs a directed graph  $DRG_{\Pi}$  whose vertex  $v_i (1 \leq i \leq n)$  represents  $GS_i$  and whose edge from  $v_i$  to  $v_j$  expresses " $\forall gs \in GS_i \exists gs' \in GS_j \{ gs' \text{ is reachable from } gs \}$ ". By exploring  $DRG_{\Pi}$ ,  $\Pi$  is showed to be  $Q$ -live. A sample protocol extracted from the data transfer phase of the OSI session protocol was verified by the proposing method.

## 1 まえがき

通信プロトコルなどの並行システムに求められる基本的な性質に安全性と liveness がある。安全性とはデッドロックなどの好ましくないことが起こらないという性質であるのに対して、liveness とは「興味のあるメッセージの送信が行なわれる」、「正常終了状態に到達する」などの好ましいことがいざれ起こるという性質である。プロトコル機械の状態数が有限で、通信路の有界性が保証されているならば、プロトコルの状態数は有限であり、有限の状態空間を探索することによって安全性と liveness は決定可能であることが知られている<sup>[1] [2]</sup>。しかし、実用プロトコルでは通信路の有界性が成り立たない場合やプロトコル機械が有限制御部の他に整数値などの値を取る context variable を持つ拡張有限状態機械でモデル化される場合も多い。このような場合にはプロトコルの状態空間は無限集合となるので、文献<sup>[1], [2]</sup>の方法は適用できない。状態空間が有限でないプロトコルの検証法については、プロトコル機械が有限状態機械でモデル化され、通信路が非有界であるプロトコルの安全性の検証法の研究がさかんに行なわれている<sup>[3] [4]</sup>。また、筆者らはプロトコル機械が非負整数値レジスタを持つ拡張有限状態機械でモデル化され、通信路が長さに制限のない FIFO でモデル化された通信プロトコルの安全性の検証法を考案し、そのための検証システムを試作している<sup>[5]</sup>。

Finkel は liveness を初期状態から到達可能な任意の状態  $s$  と任意の状態遷移  $tr$  に対して、状態  $s$  から到達可能なある状態で状態遷移  $tr$  が実行可能であるという性質であると定義し、有限状態機械モデルで通信路が非有界のプロトコルの liveness の検証法を議論している。本稿では、Q-live 性を初期状態から到達可能な任意の状態からある性質  $Q$  を満たす状態に到達可能であるという性質であると定義する。文献<sup>[5]</sup>と同様にモデル化され、文献<sup>[5]</sup>の検証法によって安全性が保証されている通信プロトコルに対する Q-live 性の検証法を提案する。安全性の検証によりプロトコル II の初期状態から到達可能な状態の集合がいくつかの部分集合  $GS_1, GS_2, \dots, GS_n$  に分割され、また性質  $Q$  は  $\bigcup_{i \in I_Q} GS_i$  ( $I_Q \subseteq \{i \mid 1 \leq i \leq n\}$ ) の形の状態集合で指定されているものとする。各  $GS_i$  ( $1 \leq i \leq n$ ) に対応して頂点  $v_i$  を考え、 $V = \{v_1, v_2, \dots, v_n\}$  とする。以下のような性質を持つ縮退到達可能性グラフ  $DRG_{\Pi} = (V, E)$  を生成する。

$(v_i, v_j) \in E$  ならば、 $\forall gs \in GS_i; \exists gs' \in GS_j; \{gs \text{ から } gs' \text{ に到達可能}\}$  以下が成立することを示すことにより、プロトコル II が Q-live であることが示される。

$$\forall i (1 \leq i \leq n) \exists j \in I_Q \{DRG_{\Pi} \text{ 上で } v_i \text{ から } v_j \text{ への道がある}\}$$

## 2 プロトコルモデル

本稿では、プロトコル機械を非負整数値レジスタを持つ拡張有限状態機械でモデル化し、二つのプロトコル機械を接続する双方向の通信路を長さに制限のない FIFO でモデル化したプロトコルを取り扱う。形式的には以下のように定義する。

定義 1 プロトコル機械を以下のような拡張有限状態機械  $(S, \Sigma, T, SI)$  として定義する。

(M1)  $S = \langle SF, r \rangle$  : プロトコル機械の状態集合を定義する 2 字組。SF は有限制御部の取り得る状態の有限集合、 $r$  は非負整数値を保持するレジスタの数を表す。プロトコル機械の取り得る状態の集合は  $SF \times N^r$  となる ( $N$  は非負整数の集合を表す)。

(M2)  $\Sigma = \Sigma_- \cup \Sigma_+$  : メッセージ型の有限集合。 $\Sigma_-$ ,  $\Sigma_+$  はそれぞれ送信メッセージ型、受信メッセージ型の有限集合である。 $\Sigma_-$ ,  $\Sigma_+$  は互いに素であるとする。各メッセージは非負整数値パラメータを一つ持つものとする。パラメータ  $p \in N$  を持つ型  $d \in \Sigma$  のメッセージを  $\langle d, p \rangle$  と書く。

(M3)  $T$  : アクションの有限集合。アクションは以下のようない 5 字組  $\langle sf, d, sf', C, R \rangle$  である。 $sf \in SF, d \in \Sigma, sf' \in SF, C$  は状態遷移前のプロトコル機械のレジスタ値  $p_1, p_2, \dots, p_r$  と送信または受信メッセージのパラメータ値  $p$  が満たすべき連立線形不等式式で、遷移条件と呼ばれる。 $R$  は状態遷移前のプロトコル機械のレジスタ値  $p_1, p_2, \dots, p_r$  と送信または受信メッセージのパラメータ値  $p$  から状態遷移後のプロトコル機械のレジスタ値  $p_1, p_2, \dots, p_r$  を定める  $N^{r+1}$  から  $N^r$  への部分関数で、レジスタ更新関数と呼ばれる。 $T$  によって、 $SF \times N^r \times \Sigma \times N$  から  $SF \times N^r$  の非決定性状態遷移関数  $\delta_T$  は以下のように定義される。

$$\delta_T((sf, p_1, p_2, \dots, p_r), \langle d, p \rangle) = \{(sf', R(p_1, p_2, \dots, p_r, p)) \mid (sf, d, sf', C, R) \in T \text{かつ } p_1, p_2, \dots, p_r, p \text{ は } C \text{ を満たす}\}$$

(M4)  $SI \subseteq SF \times N^r$  : 初期状態の集合。□

定義 2 二つのプロトコル機械  $PM_A = ((SF_A, r_A), \Sigma_A, T_A, SI_A)$ ,  $PM_B = ((SF_B, r_B), \Sigma_B, T_B, SI_B)$  について、 $\Sigma_B- = \Sigma_A+(\Sigma_{BA} \text{ と書く})$ ,  $\Sigma_A- = \Sigma_B+(\Sigma_{AB} \text{ と書く})$  であるとき 2 字組  $\Pi = (PM_A, PM_B)$  をプロトコルと呼ぶ。4 字組  $gs = (s_A, s_B, ch_{BA}, ch_{AB})$  ( $s_A \in SF_A \times N^{r_A}, s_B \in SF_B \times N^{r_B}, ch_{BA} \in (\Sigma_{BA} \times N)^*$ ,  $ch_{AB} \in (\Sigma_{AB} \times N)^*$ ) をプロトコル  $\Pi$  の系の状態と呼ぶ。ここで、 $s_A, s_B$  はそれぞれ  $gs$  における  $PM_A, PM_B$  の状態を表し、 $ch_{BA}, ch_{AB}$  はそれぞれ  $gs$  における  $PM_B$  から  $PM_A$  への通信路、 $PM_A$  から  $PM_B$  への通信路上のメッセージ系列を表す。以下では、混乱のない限り系の状態を単に状態と呼ぶことがある。 $gs_I = (si_A, si_B, \epsilon, \epsilon)$  ( $si_A \in SI_A, si_B \in SI_B, \epsilon$  は空系列) を  $\Pi$  の初期状態と呼ぶ。□

定義 3 プロトコル  $\Pi = (PM_A, PM_B)$  の任意の状態  $gs = (s_A, s_B, u_{BA}, u_{AB})$  および  $gs' = (s'_A, s'_B, u'_{BA}, u'_{AB})$  に対して、ある  $d \in \Sigma_{AB}, p \in N$  が存在して次の (TA1) または (TA4) が成立するとき、またはある  $d \in \Sigma_{BA}, p \in N$  が存在して次の (TA2) または (TA3) が成立するとき  $gs$  から  $gs'$  に遷移可能であるといい、 $gs \rightarrow gs'$  と書く。

- (TA1)  $s'_A \in \delta_{T_A}(s_A, \langle d, p \rangle), s'_B = s_B, u'_{BA} = u_{BA}, u'_{AB} = u_{AB} \cdot \langle d, p \rangle$
  - (TA2)  $s'_A \in \delta_{T_A}(s_A, \langle d, p \rangle), s'_B = s_B, \langle d, p \rangle \cdot u'_{BA} = u_{BA}, u'_{AB} = u_{AB}$
  - (TA3)  $s'_A = s_A, s'_B \in \delta_{T_B}(s_B, \langle d, p \rangle), u'_{BA} = u_{BA} \cdot \langle d, p \rangle, u'_{AB} = u_{AB}$
  - (TA4)  $s'_A = s_A, s'_B \in \delta_{T_B}(s_B, \langle d, p \rangle), u'_{BA} = u_{BA}, \langle d, p \rangle \cdot u'_{AB} = u_{AB}$
- 関係  $\rightarrow$  の反射推移閉包を  $\rightarrow^*$  と書く。 $gs \rightarrow^* gs'$  のとき、 $gs$  から  $gs'$  に到達可能であるという。プロトコル  $\Pi$  において初期状態から到達可能である状態の集合を  $RGS_{\Pi}$  と書く。□

### 3 安全性の検証法

2で述べたモデルのプロトコルの安全性(3.1参照)を不变式を用いて検証する方法<sup>[5]</sup>について説明する。

プロトコルIIの初期状態から到達可能な任意の状態において論理式  $F$  が成立するとき,  $F$  は II の不变式であるという。論理式  $P$  を満たす系の状態の集合を  $GS(P)$  と書く。文献[5]で提案している検証法では, (a) 検証者の記述した論理式  $F$  が不变式, すなわち  $GS(F) \supseteq RGS_{\Pi}$  であること, (b)  $GS(F)$  が安全でない状態を含まないこと, を証明する。(a) と (b) が示されれば, II は安全であると結論できる。

#### 3.1 安全性

プロトコルII =  $(PM_A, PM_B)$  の安全性を以下のように定義する。

**定義 4** 状態  $gs = (s_A, s_B, \epsilon, \epsilon)$ において, 任意の  $d \in \Sigma_{AB}$ ,  $p \in N$  に対して  $\delta_{T_A}(s_A, (d, p)) = \phi$ , かつ任意の  $d \in \Sigma_{BA}$ ,  $p \in N$  に対して  $\delta_{T_B}(s_B, (d, p)) = \phi$  であるとき,  $gs$  は(空チャネル) デッドロック状態であるという。空でないメッセージ系列  $\alpha$  に対して,  $head(\alpha)$  は  $\alpha$  の先頭のメッセージを表すとする。状態  $gs = (s_A, s_B, ch_{BA}, ch_{AB})$  に対して,  $ch_{BA} \neq \epsilon$  かつ  $\delta_{T_A}(s_A, head(ch_{BA})) = \phi$ , または  $ch_{AB} \neq \epsilon$  かつ  $\delta_{T_B}(s_B, head(ch_{AB})) = \phi$  であるとき,  $gs$  は未定義受信状態であるという。プロトコルIIの初期状態からデッドロック状態および未定義受信状態に到達可能でないとき, プロトコルIIは安全であるという。 □

#### 3.2 不変式の記述

検証者は, プロトコルIIの初期状態から到達可能であると想定している状態の集合を, それぞれの状態におけるプロトコル機械の状態と通信路上のメッセージ系列を考慮して, いくつかの互いに素な部分集合に分割する(以下ではその分割数を  $n$  とする)。さらに, それぞれの状態集合に対して, その集合中のすべての状態で成立する条件を以下の(AF1)–(AF4)の4種類の原子式の積項  $P_i$  ( $i = 1, 2, \dots, n$ )として記述し,  $F = P_1 \vee P_2 \vee \dots \vee P_n$  とする。

(AF1)  $PM_A, PM_B$  の有限制御部の状態の2字組  $(sf_A, sf_B)$ :  $PM_A, PM_B$  の有限制御部の状態がそれぞれ  $sf_A, sf_B$  であることを表す。

(AF2)  $\Sigma_{BA}$  上の正規表現と  $\Sigma_{AB}$  上の正規表現の2字組  $(R_{BA}, R_{AB})$ :  $PM_B$  から  $PM_A$  への通信路,  $PM_A$  から  $PM_B$  への通信路上のメッセージ型系列  $type(ch_{BA})$ ,  $type(ch_{AB})$  に対し,  $type(ch_{BA}) \in L(R_{BA})$ ,  $type(ch_{AB}) \in L(R_{AB})$  であることを表す。ここで,  $L(R)$  は正規表現  $R$  の表す系列集合, メッセージ型系列  $type(\alpha)$  はメッセージ系列  $\alpha$  からメッセージ型のみを取り出した系列である。例えば,  $(\epsilon, MIP^+)$  は,  $PM_B$  から  $PM_A$  への通信路上にはメッセージが無く,  $PM_A$  から  $PM_B$  への通信路上のメッセージ型系列が1個以上の MIP から成る系列であることを表す。

(AF3) 通信路上のメッセージ系列のパラメータ系列が満たすべき性質を検証者が定義した述語によって記述した

式。ここで, パラメータ系列とはメッセージ系列からパラメータ値のみを取り出した系列である。例えば,  $step1(ch_{AB})$  は,  $PM_A$  から  $PM_B$  への通信路上のメッセージ系列  $ch_{AB}$  のパラメータ系列が, 述語  $step1$  について定義された性質を満たしていることを表す。ここで,  $step1$  は表 1 のように定義される述語である。

(AF4) プロトコル機械のレジスタ値, および通信路上のメッセージ系列の特定位置のメッセージのパラメータ値からなる線形方程式または線形不等式。例えば,  $VM_A = last(ch_{AB}) + 1$  は,  $PM_A$  のレジスタ  $VM_A$  の値が  $PM_A$  から  $PM_B$  への通信路上のメッセージ系列  $ch_{AB}$  の末尾のメッセージのパラメータ値に 1 を加えたものに等しいことを表す。ここで,  $last(\alpha)$  はメッセージ系列  $\alpha$  の末尾のメッセージのパラメータ値を表す定義関数である。

以下では, 各  $P_i$  において AF1 型原子式, AF2 型原子式はそれぞれちょうど一つずつ記述されているものとする。 $P_i$  中の  $PM_A$  (または  $PM_B$ ) に関する AF1 型原子式で指定された  $PM_A$  (または  $PM_B$ ) の有限制御部の状態を  $sf_A(P_i)$  (または  $sf_B(P_i)$ ) と書く。

【例】OSI セッションプロトコルのデータ転送フェーズに基づく以下のようプロトコル  $\Pi_{EX} = (PM_A, PM_B)$  と  $\Pi_{EX}$  に関する論理式  $F_{EX}$  を考える。 $PM_A$  は同期点番号  $sn$  をパラメータ値とするメッセージ  $(MIP, sn)$  を  $PM_B$  に送信することにより同期点設定を行なう。 $PM_A$  は MIP を送信することに同期点番号を 1 ずつ増加する。 $PM_B$  は受信した MIP の同期点番号  $sn$  をパラメータ値とするメッセージ  $(MIA, sn)$  を  $PM_A$  に送信することにより同期点応答を行なう。 $PM_B$  は必ずしもすべての MIP に応答する必要はなく, 対応する MIA を送信しないこともある。しかし,  $PM_B$  が MIA を送信するときには,  $PM_B$  がそのときまでに受け取った最大の同期点番号をパラメータ値とする MIA を送信するものとする。 $PM_A$  は  $(MIA, sn)$  を受信したとき,  $PM_B$  が  $sn$  以下のすべての同期点番号に応答したとみなす。プロトコル機械  $PM_A, PM_B$  を次のように定義する。

- $PM_A, PM_B$  の有限状態部はそれぞれ 1 状態 “STA713” のみからなるとする。 $PM_A, PM_B$  はそれぞれ表 2 に記されたような 2 つのレジスタ  $VM_A$  と  $VA_A, VM_B$  と  $VA_B$  を持つ。
- $\Sigma_{AB} = \{MIP\}$ ,  $\Sigma_{BA} = \{MIA\}$ .
- $PM_A, PM_B$  のアクションは表 3 で定義する。 $tb1$  は,  $PM_B$  について有限制御部の状態が “STA713” で, レジスタ  $VM_B, VA_B$  の値が  $VM_B > VA_B$  を満たすとき,  $VM_B = sn + 1, sn \geq VA_B$  を満たすような  $sn$  をパラメータ値とする型 MIA のメッセージ  $(MIA, sn)$  を送信するアクションであり, 状態遷移後の  $VA_B$  の値を  $sn + 1$  にすると定義している。
- $PM_A, PM_B$  の初期状態では, すべてのレジスタの値が 0 であるとする。

プロトコル  $\Pi_{EX}$  の初期状態から到達可能であると想定している状態の集合を (1)  $PM_A$  から  $PM_B$  への通信路上に MIP があるかないか, (2)  $PM_B$  から  $PM_A$  への通信路上に MIA があ

るかないか, (3)  $PM_B$  が MIA を送信できる ( $VM_B > VAB$ ) か送信できない ( $VM_B = VAB$ ) かによって, 8 個の部分集合に分割する. その一つである図 1 のような状態集合について考える. この集合中の任意の状態で成立する論理式を表 4 の式  $P_4$  のように記述する. ここで, 定義述語, 定義関数としてそれぞれ表 1, 表 5 に記したものを使っている. 同様にして, 残りの状態集合についてもその集合中の任意の状態で成立する論理式  $P_i$  ( $1 \leq i \leq 8$ ) を表 4 のように記述する.  $F_{EX} = P_1 \vee P_2 \vee \dots \vee P_8$  とする.

### 3.3 安全性の検証手続き

論理式  $F = P_1 \vee P_2 \vee \dots \vee P_n$  がプロトコル II の不变式であることを, 系の状態遷移系列に関する構造的帰納法を用いて以下のように証明する.

- 初期段階 : II の各初期状態において, ある  $P_i$  ( $1 \leq i \leq n$ ) が成立することを示す.
- 帰納段階 : 各  $P_i$  ( $1 \leq i \leq n$ ) について,  $P_i$  を満たす任意の状態から遷移可能な任意の状態で論理式  $F$  が成立することを以下の手順で証明する.
  - (i) 各アクション  $t \in T_A$  (または  $t \in T_B$ ) について,  $P_i$  を満たすある状態で  $t$  が実行可能であるかどうかを調べる.
  - (ii) (i) で求めたアクション  $t$  ごとに, 次を示す. アクション  $t$  が実行可能な任意の状態  $gs \in GS(P_i)$  から  $t$  による状態遷移によって遷移可能な状態において成立する  $P_j$  が少なくとも一つは存在する, すなわち  $P_j$  中のすべての原子式が成立する.  $P_j$  中の AF3 型原子式の成立は項書換え系上での項の書き換えによって示す.  $P_j$  中の AF4 型原子式の成立は連立線形不等式を解くことによって判定できる.

論理式  $F$  が不变式であることが示され, さらに不变式  $F$  を満たす状態集合  $GS(F)$  がデッドロック状態および未定義受信状態を含まないことが示されれば, II が安全であると結論できる.  $F$  が不变式であるとの上記証明法の帰納段階の証明過程, および  $GS(F)$  がデッドロック状態または未定義受信状態を含むかどうかの判定を自動化する検証システムが試作されている<sup>[4]</sup>.

## 4 liveness の検証法

ここでは, 3 で述べた検証法により安全性が保証されているプロトコルの liveness の検証法について述べる.

### 4.1 Q-live 性

liveness を以下の Q-live 性として定式化する.

定義 5 プロトコル II において性質  $Q$  を満たす状態集合を  $GS_Q$  とする. 以下が成立するとき, II は  $Q$ -live であるという.

$$\forall gs \in RGS_{\Pi} \exists gs' \in GS_Q \{ gs \xrightarrow{*} gs' \} \quad \square$$

例えば,  $Q$  を興味のあるアクション  $t$  が実行可能であるという性質とすると,  $Q$ -live 性は, 初期状態から到達可能な任意の状態から  $t$  がいずれ実行可能になるという性質になる. また,  $Q$  を正常終了状態であるという性質とすると,  $Q$ -live 性は常に正常終了状態に到達可能であるという性質になる.

プロトコル II において, 有向グラフ  $RG_{\Pi} = (RGS_{\Pi}, \{(gs, gs') \mid gs \rightarrow gs'\})$  を II の到達可能性グラフという.  $RGS_{\Pi}$  が有限集合となる場合には  $RG_{\Pi}$  も有限であるので,  $RG_{\Pi}$  上を model checking<sup>[2]</sup> 等の手法によって探索することにより, 時制論理の式として表された  $Q$ -live 性を検証することができる.

しかし, 本稿で扱うプロトコルモデルのように  $RGS_{\Pi}$  が無限集合となる場合には, その到達可能性グラフ  $RG_{\Pi}$  も有限でなくなるので, 上記の方法を適用できない. 以下では,  $RGS_{\Pi}$  が無限集合となる場合の  $Q$ -live 性の検証法について考える.  $RGS_{\Pi}$  を有限個の部分集合  $GS_1, GS_2, \dots, GS_n$  に分割する. 各  $GS_i$  に対応して頂点  $v_i$  を考え,  $V = \{v_1, v_2, \dots, v_n\}$  とする. 以下のような有向グラフ  $G = (V, E)$  を考える.

$$\forall gs \in GS_i \exists gs' \in GS_j \{ gs \rightarrow gs' \} \Leftrightarrow (v_i, v_j) \in E \quad (1)$$

ただし,  $\Leftrightarrow$  は同値関係を表す. このとき, ある  $i$  ( $1 \leq i \leq n$ ) に対して  $GS_Q = GS_i$  とすると,  $G$  上を探索することによりプロトコル II の  $Q$ -live 性を示すという方法が考えられる. しかしながら, (1) の条件が強すぎるため, 適用できる場合が極めて限定されたものになる. そこで, 4.2 では以下のような性質を持つ有向グラフ  $G' = (V, E')$  を生成し,  $G'$  上を探索することにより, II の  $Q$ -live 性を示す方法を考える.

$$\forall gs \in GS_i \exists gs' \in GS_j \{ gs \xrightarrow{*} gs' \} \Leftrightarrow (v_i, v_j) \in E' \quad (2)$$

### 4.2 縮退到達可能性グラフと $Q$ -live 性

安全性の検証によって不变式であること, およびいかなるデッドロック状態, 未定義受信状態でも成立しないことが証明された論理式を  $F = P_1 \vee P_2 \vee \dots \vee P_n$  とする. 以下では  $\bigvee_{i \in I_Q} P_i$  ( $I_Q \subseteq \{i \mid 1 \leq i \leq n\}$  とする) の形で記述された性質  $Q$  に対して  $Q$ -live 性を示すことを考える.  $GS_Q = \bigcup_{i \in I_Q} GS(P_i)$  があるので, 以下が成立するならばプロトコル II は  $Q$ -live である.

$$\forall i (1 \leq i \leq n) \forall gs \in GS(P_i) \exists j \in I_Q \exists gs' \in GS(P_j) \{ gs \xrightarrow{*} gs' \} \quad (3)$$

以下では,  $PM_A$  (または  $PM_B$ ) の送信によって  $gs$  から  $gs'$  に遷移可能であるとき,  $gs \xrightarrow{A \cdot s} gs'$  (または  $gs \xrightarrow{B \cdot s} gs'$ ) と書く. また,  $PM_A$  (または  $PM_B$ ) の受信によって  $gs$  から  $gs'$  に遷移可能であるとき,  $gs \xrightarrow{A \cdot r} gs'$  (または  $gs \xrightarrow{B \cdot r} gs'$ ) と書く. 関係  $\xrightarrow{A \cdot r} \xrightarrow{B \cdot r}$  の推移閉包をそれぞれ  $\xrightarrow{A \cdot r} \xrightarrow{B \cdot r}$  と書く.

定義 6 プロトコル II と不变式  $F = P_1 \vee P_2 \vee \dots \vee P_n$  に対して, 以下のようない有向グラフ  $DRG_{\Pi} = (V, E_S \cup E_R)$  を縮退到達可能性グラフと呼ぶ.

$$V = \{v_i \mid 1 \leq i \leq n\}$$

$$\begin{aligned} E_S = & \{(v_i, v_j) \mid \forall gs \in GS(P_i) \exists gs' \in GS(P_j) \{ gs \xrightarrow{A \cdot s} gs' \} \} \\ & \cup \{(v_i, v_j) \mid \forall gs \in GS(P_i) \exists gs' \in GS(P_j) \{ gs \xrightarrow{B \cdot s} gs' \} \} \\ E_R = & \{(v_i, v_j) \mid \forall gs \in GS(P_i) \exists gs' \in GS(P_j) \{ gs \xrightarrow{A \cdot r} gs' \} \} \\ & \cup \{(v_i, v_j) \mid \forall gs \in GS(P_i) \exists gs' \in GS(P_j) \{ gs \xrightarrow{B \cdot r} gs' \} \} \end{aligned} \quad \square$$

$DRG_{\Pi}$  上で  $v_i$  から  $v_j$  への道があるならば,  $\forall gs \in GS(P_i) \exists gs' \in GS(P_j) \{ gs \xrightarrow{*} gs' \}$  が成り立つ. このことより, (3) の成立を示すためには, 以下を示せば十分である.

$$\forall i (1 \leq i \leq n) \exists j \in I_Q \{ DRG_{\Pi} \text{ 上で } v_i \text{ から } v_j \text{ への道がある} \} \quad (4)$$

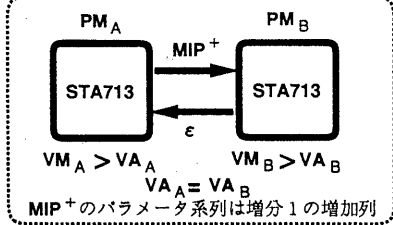


図 1: プロトコルII<sub>EX</sub>の状態集合の例

表 1: 検証に用いたメッセージ系列に関する定義述語

| 述語名    | 意味                 |
|--------|--------------------|
| step1  | パラメータ系列が増分1の増加列である |
| st-inc | パラメータ系列が狭義単調増加列である |

表 2: プロトコル機械のレジスタ

| レジスタ名                           | 意味                  |
|---------------------------------|---------------------|
| PM <sub>A</sub> VM <sub>A</sub> | 次に送信する MIP の同期点番号   |
| VA <sub>A</sub>                 | 応答が返ってきていない最小の同期点番号 |

| レジスタ名                           | 意味                 |
|---------------------------------|--------------------|
| PM <sub>B</sub> VM <sub>B</sub> | 次に受信すべき MIP の同期点番号 |
| VA <sub>B</sub>                 | 応答を返していない最小の同期点番号  |

表 3: プロトコル機械のアクションの定義

|  |
|--|
| $ta1 = (\text{STA713}, \langle \text{MIP}, sn \rangle, \text{STA713}, C_{ta1}, R_{ta1}) \in T_A$ |
| $C_{ta1} = \{sn = VM_A\}$  |
| $R_{ta1}(VM_A, VA_A) = (VM_A + 1, VA_A)$   |
| $ta2 = (\text{STA713}, \langle \text{MIA}, sn \rangle, \text{STA713}, \phi, R_{ta2}) \in T_A$    |
| $R_{ta2}(VM_A, VA_A) = (VM_A, sn + 1)$   |
| $tb1 = (\text{STA713}, \langle \text{MIA}, sn \rangle, \text{STA713}, C_{tb1}, R_{tb1}) \in T_B$ |
| $C_{tb1} = \{VM_B > VA_B, VM_B = sn + 1, sn \geq VA_B\}$   |
| $R_{tb1}(VM_B, VA_B) = (VM_B, sn + 1)$   |
| $tb2 = (\text{STA713}, \langle \text{MIP}, sn \rangle, \text{STA713}, \phi, R_{tb2}) \in T_B$    |
| $R_{tb2}(VM_B, VA_B) = (VM_B + 1, VA_B)$   |

表 4: 3.3 のプロトコルII<sub>EX</sub>に関する論理式  $F_{EX}$

$$\begin{aligned}
 P_1 &= \langle \text{STA713}, \text{STA713} \rangle & P_2 &= \langle \text{STA713}, \text{STA713} \rangle \\
 &\wedge \langle \varepsilon, \varepsilon \rangle & &\wedge \langle \varepsilon, \varepsilon \rangle \\
 &\wedge VM_A = VM_B & &\wedge VM_A = VM_B \\
 &\wedge VA_A = VA_B & &\wedge VA_A = VA_B \\
 &\wedge VM_A = VA_A & &\wedge VM_A > VA_A \\
 &\wedge VM_B = VA_B & &\wedge VM_B > VA_B \\
 P_3 &= \langle \text{STA713}, \text{STA713} \rangle & P_4 &= \langle \text{STA713}, \text{STA713} \rangle \\
 &\wedge \langle \varepsilon, \text{MIP}^+ \rangle & &\wedge \langle \varepsilon, \text{MIP}^+ \rangle \\
 &\wedge \text{step1}(ch_{AB}) & &\wedge \text{step1}(ch_{AB}) \\
 &\wedge VM_A = \text{last}(ch_{AB}) + 1 & &\wedge VM_A = \text{last}(ch_{AB}) + 1 \\
 &\wedge VM_B = \text{first}(ch_{AB}) & &\wedge VM_B = \text{first}(ch_{AB}) \\
 &\wedge VA_A = VA_B & &\wedge VA_A = VA_B \\
 &\wedge VM_A > VA_A & &\wedge VM_A > VA_A \\
 &\wedge VM_B > VA_B & &\wedge VM_B > VA_B \\
 P_5 &= \langle \text{STA713}, \text{STA713} \rangle & P_6 &= \langle \text{STA713}, \text{STA713} \rangle \\
 &\wedge \langle \text{MIA}^+, \varepsilon \rangle & &\wedge \langle \text{MIA}^+, \varepsilon \rangle \\
 &\wedge \text{st-inc}(ch_{BA}) & &\wedge \text{st-inc}(ch_{BA}) \\
 &\wedge VM_A = VM_B & &\wedge VM_A = VM_B \\
 &\wedge VA_B = \text{last}(ch_{BA}) + 1 & &\wedge VA_B = \text{last}(ch_{BA}) + 1 \\
 &\wedge VA_A \leq \text{first}(ch_{BA}) & &\wedge VA_A \leq \text{first}(ch_{BA}) \\
 &\wedge VM_A > VA_A & &\wedge VM_A > VA_A \\
 &\wedge VM_B = VA_B & &\wedge VM_B > VA_B \\
 P_7 &= \langle \text{STA713}, \text{STA713} \rangle & P_8 &= \langle \text{STA713}, \text{STA713} \rangle \\
 &\wedge \langle \text{MIA}^+, \text{MIP}^+ \rangle & &\wedge \langle \text{MIA}^+, \text{MIP}^+ \rangle \\
 &\wedge \text{step1}(ch_{AB}) & &\wedge \text{step1}(ch_{AB}) \\
 &\wedge \text{st-inc}(ch_{BA}) & &\wedge \text{st-inc}(ch_{BA}) \\
 &\wedge VM_A = \text{last}(ch_{AB}) + 1 & &\wedge VM_A = \text{last}(ch_{AB}) + 1 \\
 &\wedge VM_B = \text{first}(ch_{AB}) & &\wedge VM_B = \text{first}(ch_{AB}) \\
 &\wedge VA_B = \text{last}(ch_{BA}) + 1 & &\wedge VA_B = \text{last}(ch_{BA}) + 1 \\
 &\wedge VA_A \leq \text{first}(ch_{BA}) & &\wedge VA_A \leq \text{first}(ch_{BA}) \\
 &\wedge VM_A > VA_A & &\wedge VM_A > VA_A \\
 &\wedge VM_B = VA_B & &\wedge VM_B > VA_B
 \end{aligned}$$

表 5: 検証に用いた定義関数

| 関数名               | 意味                       |
|-------------------|--------------------------|
| first( $\alpha$ ) | $\alpha$ の先頭メッセージのパラメータ値 |
| last( $\alpha$ )  | $\alpha$ の末尾メッセージのパラメータ値 |

### 4.3 縮退到達可能性グラフの構成法

以下では、縮退到達可能性グラフ  $DRG_{\Pi} = (V, E_S \cup E_R)$  の構成法について説明する。

#### 4.3.1 $E_S$ の求め方

$P_i, P_j (1 \leq i, j \leq n)$  と  $PM_A$  のある送信アクション  $t = (sf, d, sf', C, R)$  に対して、以下の (a), (b) が成り立つならば  $(v_i, v_j) \in E_S$  である。

(a) 任意の状態  $gs = (s_A, s_B, ch_{BA}, ch_{AB}) \in GS(P_i)$  に対して、あるパラメータ値  $p$  が存在して、 $\langle d, p \rangle$  が送信可能である。すなわち以下の (ES1)–(ES3) が成立する。ただし、 $C_i$  を  $P_i$  中の AF4 型原子式からなる連立線形不等式とし、 $C_p, C_{\bar{p}}$  をそれぞれ送信メッセージのパラメータ値を表す変数  $p$  を含む  $C$  中の線形不等式の部分集合、変数  $p$  を含まない  $C$  中の線形不等式の部分集合とする。

(ES1)  $sf_A(P_i) = sf$ .

(ES2)  $C_i$  を満たす  $PM_A$  の任意のレジスタ値  $(p_1, p_2, \dots, p_r)$  は  $C_{\bar{p}}$  中の任意の線形不等式を満たす。

(ES3)  $C_i$  を満たす  $PM_A$  の任意のレジスタ値  $(p_1, p_2, \dots, p_r)$  について、 $\langle p_1, p_2, \dots, p_r, p \rangle$  が  $C_p$  を満たすような  $p$  が存在する。

(b) 任意の状態  $gs \in GS(P_i)$  から  $C$  を満たす任意のパラメータ値  $p$  を持つメッセージ  $\langle d, p \rangle$  の送信を  $PM_A$  が行なった後の状態  $gs'$  で  $P_j$  が成立する。

(b) は安全性の検証手続きと同様の手法を用いて調べることができる。(ES1) は  $t$  と  $P_i$  からただちに判定可能である。(ES2) と (ES3) の判定法については 4.4 で述べる。 $P_i, P_j (1 \leq i, j \leq n)$  と  $PM_B$  のある送信アクション  $t$  に対して、(a), (b) と同様の条件が成り立つならば  $(v_i, v_j) \in E_S$  である。以上の手順によって求まった辺集合を  $E'_S$  とする。このとき  $E'_S \subseteq E_S$  が成り立つ。

#### 4.3.2 $E_R$ の求め方

各  $P_i (1 \leq i \leq n)$  において、AF2 型原子式  $\langle R_{BA}, R_{AB} \rangle$  について  $R_{BA} = \epsilon$  であるか、 $\mathcal{L}(R_{BA}) \cap \{\epsilon\} = \emptyset$  であるとする。 $R_{AB}$  についても同様とする。この制約を満たすように  $P_i$  を記述することは容易である。

定義 7 プロトコル  $\Pi$  と不变式  $F = P_1 \vee P_2 \vee \dots \vee P_n$  に対して、以下のような有向グラフ  $G_A = (V, E_A)$ ,  $G_B = (V, E_B)$  をそれぞれ  $PM_A$ ,  $PM_B$  の受信到達可能性グラフと呼ぶ。

$$V = \{v_i \mid 1 \leq i \leq n\}$$

$$E_A = \{(v_i, v_j) \mid \exists gs \in GS(P_i) \exists gs' \in GS(P_j) \{gs \xrightarrow{A, r} gs'\}\}$$

$$E_B = \{(v_i, v_j) \mid \exists gs \in GS(P_i) \exists gs' \in GS(P_j) \{gs \xrightarrow{B, r} gs'\}\}$$

$P_i, P_j (1 \leq i, j \leq n)$  と  $PM_A$  のある受信アクション  $t = (sf, d, sf', C, R)$  に対して、以下の (a), (b) が成り立つならば  $(v_i, v_j) \in E_A$  である。

(a) ある状態  $gs = (s_A, s_B, ch_{BA}, ch_{AB}) \in GS(P_i)$  に対して、 $\langle d, p \rangle$  が受信可能である。すなわち以下の (EA1)–(EA3) が成立する。ただし、 $C_i$  を  $P_i$  中の AF4 型原子式からなる連立線形不等式、 $\langle R_{BA}, R_{AB} \rangle$  を  $P_i$  中の AF2 型原子式とする。

(EA1)  $sf_A(P_i) = sf$ .

(EA2)  $\exists u \in \Sigma_{BA}^* \{d \cdot u \in \mathcal{L}(R_{BA})\}$ .

(EA3)  $C_i$  と  $C$  からなる連立線形不等式を満たす  $PM_A$  のレジスタ値  $p_1, p_2, \dots, p_r$  と受信メッセージのパラメータ値  $p$  が存在する。

(b) ある状態  $gs \in GS(P_i)$  から  $C$  を満たすあるパラメータ値  $p$  を持つメッセージ  $\langle d, p \rangle$  の受信を  $PM_A$  が行なった後の状態  $gs'$  で  $P_j$  が成立する。

(EA2) および (b) は安全性の検証手続きと同様の手法を用いて調べることができる。また、(EA1) は  $t$  と  $P_i$  からただちに判定可能である。(EA3) の判定法については 4.4 で述べる。 $P_i, P_j (1 \leq i, j \leq n)$  と  $PM_B$  のある受信アクション  $t$  に対して、(a), (b) と同様の条件が成り立つならば  $(v_i, v_j) \in E_B$  である。

$$V_{BA=\epsilon} = \{v_i \mid P_i \text{ 中の AF2 型原子式で } R_{BA} = \epsilon\},$$

$$V_{AB=\epsilon} = \{v_i \mid P_i \text{ 中の AF2 型原子式で } R_{AB} = \epsilon\},$$

とする。ここで  $v_i \in V$  に対して、

$$RS_A(v_i) = \{v_j \mid \forall v_k \in V_{BA=\epsilon} \forall G_A \text{ 上の道 } p = (v_i, \dots, v_k) \}$$

{ $v_j$  は  $p$  上の頂点)}

$$RS_B(v_i) = \{v_j \mid \forall v_k \in V_{AB=\epsilon} \forall G_B \text{ 上の道 } p = (v_i, \dots, v_k) \}$$

{ $v_j$  は  $p$  上の頂点)}

とする。グラフ  $G_A$  からある頂点  $v_j$  とそれに接続するすべての辺を取り除いたグラフを  $G_A^j$  とすると、 $\{v_k \mid G_A \text{ 上で } v_i \text{ から } v_k \in V_{BA=\epsilon} \text{ への道がある}\} - \{v_k \mid G_A^j \text{ 上で } v_i \text{ から } v_k \in V_{BA=\epsilon} \text{ への道がある}\} \neq \emptyset$  であるとき、かつそのときのみ  $v_j \in RS_A(v_i)$  である。 $RS_B(v_i)$  についても同様である。

$v_j \in RS_A(v_i)$  であると仮定すると、任意の  $gs \in GS(P_i)$  から  $PM_B$  から  $PM_A$  への通信路が空であるような状態  $gs''$  へ  $PM_A$  の受信遷移のみによって到達可能ならば、必ず  $gs'' \in GS(P_j)$  なる状態を経由する。一方、安全性が保証されているという前提より  $GS(F)$  は未定義受信状態を含まず、任意の  $gs \in GS(P_i)$  は  $PM_A$  の受信遷移のみによって  $PM_B$  から  $PM_A$  への通信路が空であるような状態に到達可能である。したがって、 $v_j \in RS_A(v_i)$  ならば、

$$\forall gs \in GS(P_i), \exists gs' \in GS(P_j) \{gs \xrightarrow{A, r} gs'\}$$

が成り立ち、 $(v_i, v_j) \in E_R$  である。 $v_j \in RS_B(v_i)$  についても同様である。以上によって求まった辺集合を  $E'_R$  とする。このとき  $E'_R \subseteq E_R$  が成り立つ。

#### 4.3.3 $DRG'_{\Pi} = (V, E'_S \cup E'_R)$ の探索

$E'_S \subseteq E_S, E'_R \subseteq E_R$  より、 $DRG'_{\Pi} = (V, E'_S \cup E'_R)$  上で以下が成り立つならば縮退到達可能性グラフ  $DRG = (V, E_S \cup E_R)$  で (4) が成り立ち、Q-live 性が成立する。

$\forall i (1 \leq i \leq n) \exists j \in I_Q \{DRG'_{\Pi} \text{ 上で } v_i \text{ から } v_j \text{ への道がある}\}$  (5)

(5) は深さ優先探索などによって判定可能である。

【例】3.2 のプロトコル  $\Pi_{EX}$  と不变式  $F_{EX}$  に対する  $DRG'_{\Pi}$  は図 2 のようになる。この場合、 $DRG'_{\Pi}$  上で任意の頂点  $v_i$  から  $v_1$  への道があるので、 $\Pi_{EX}$  は  $P_1$ -live であるといえる。

#### 4.4 プレスブルガー文の真偽判定

$m$  個の変数  $x_1, x_2, \dots, x_m$  を含む  $l$  個の線形不等式からなる連立不等式を  $C$  とする。また、 $X = (x_1, x_2, \dots, x_m)$  とする。4.3 の (EA3), (ES2), (ES3) はそれぞれ以下の (S1), (S2), (S3) のように表現することができる。

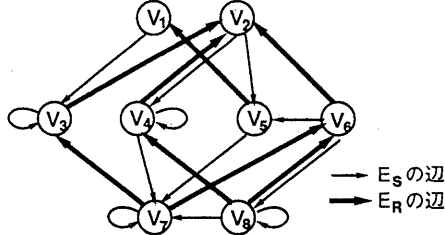


図 2: 3.2 の  $\Pi_{EX}$  と  $F_{EX}$  に対する  $DRG'_{\Pi}$

- (S1) 連立線形不等式  $C$  の非負整数解  $X$  が存在する.
- (S2) 連立線形不等式  $C$  の任意の非負整数解  $X$  は新たな制約を表す線形不等式  $c$  を満たす.
- (S3) 連立線形不等式  $C$  の任意の非負整数解  $X$  について、新たな変数  $y$  を含む連立線形不等式  $C_y$  と  $C$  からなる連立線形不等式の非負整数解  $(X, y)$  が存在する.

これらはプレスブルガー文とみなすことができ、判定可能であることが知られている<sup>[6]</sup>.しかし、例えば(S1)はNP完全であることが知られている整数線形計画問題の一般形そのものであり、一般には効率よく解けないと考えられる。以下では、(S1)–(S3)が効率よく解ける場合について考える。定義 8 変数  $x, y$ , 整定数値  $q$  に対して、以下のような形の線形不等式を差分制約と呼ぶ。

$$x - y \leq q \quad \square$$

AF4型原子式とプロトコル機械のアクションの遷移条件  $C$  がすべて差分制約であるとき、(EA3), (ES2), (ES3)の線形不等式もすべて差分制約である。差分制約のみからなる連立線形不等式の充足性について以下のような判定法が知られている<sup>[7]</sup>.

[差分制約の充足性判定] 差分制約のみからなる連立線形不等式  $C$  に対して、以下のような重みつき有向グラフ  $G_C = (V_C, E_C)$  を作る。

$$V_C = \{v_1, v_2, \dots, v_m\} \quad (\text{各 } v_i \text{ はそれぞれ } x_i \text{ に対応})$$

$$E_C = \{(v_i, v_j) \mid x_j - x_i \leq q \text{ は } C \text{ 中の差分制約}\}$$

$(x_j - x_i \leq q \text{ が } C \text{ 中の差分制約ならば、辺 } (v_i, v_j) \text{ の重み } w(v_i, v_j) = q \text{ とする。})$

$G_C$  が負の重みの閉路を持たないとき、かつそのときのみ連立線形不等式  $C$  は非負整数解  $X$  を持つ。また、 $G_C$  上で  $v_i$  から  $v_j$  への道があるとき、かつそのときのみ  $x_j - x_i$  は有界であり、 $v_i$  から  $v_j$  への重み最小の経路の重みを  $d(v_i, v_j)$  とすると、以下の性質が成り立つ。

$$x_i, x_j \text{ は } C \text{ を満たす} \Leftrightarrow x_j - x_i \leq d(v_i, v_j) \quad (6)$$

$G_C$  が負の重みの閉路を持つかどうかは Bellman-Ford のアルゴリズムにより  $O(|V_C| \cdot |E_C|)$  で判定可能である<sup>[7]</sup>。□

(S1) は上記の手法により、 $O(lm)$  で判定可能である。(S2) についても  $C$  と新たな制約「 $x_j - x_i \leq q$ 」の否定「 $x_i - x_j \leq -q - 1$ 」からなる連立線形不等式の非負整数解  $X$  が存在しないかどうかに帰着することができるので、上記の手法により  $O((l+1)m)$  で判定可能である。(S3) の判定法についても、まず  $C$  の非負整数解  $X$  が存在することを Bellman-Ford

のアルゴリズムを用いて調べる。 $C$  の非負整数解  $X$  が存在しないならば、(S3) は直ちに成立する。 $C_y$  中の差分制約の中で  $y$  の系数が  $-1$  である差分制約  $x_j - y \leq q'$  の集合を  $C'_y$ 、 $C_y$  中の差分制約の中で  $y$  の系数が  $1$  である差分制約  $y - x_i \leq q''$  の集合を  $C''_y$  とする。 $c' \in C'_y, c'' \in C''_y$  に対して、 $E_y(C, c', c'')$  は、 $C$  を満たす任意の非負整数解  $X$  に対して  $c'$  と  $c''$  を同時に満たす非負整数  $y$  が存在することを表すものとする。このとき以下の性質が成り立つ。

[性質] 任意の  $c' \in C'_y, c'' \in C''_y$  に対して  $E_y(C, c', c'')$  が成立するとき、かつそのときのみ (S3) は成立する。

[証明] 必要性は明らか。以下では十分性についてその対偶を考えることにより議論する。(S3) が成立しないとすると、

$$\neg \exists y \{ (X, y) \text{ は } C \text{ と } C_y \text{ を同時に満たす} \} \quad (7)$$

が成立するような  $C$  の非負整数解  $X = (a_1, a_2, \dots, a_n)$  が存在する。 $X = (a_1, a_2, \dots, a_n)$  に対して、 $C'_y$  の不等式  $x_j - y \leq q'$  の中で  $y$  に関するもっとも強い制約を与える不等式、すなわち  $a_j - q'$  が最大である不等式を  $c'$  とする。 $C''_y$  の不等式  $y - x_i \leq q''$  の中で  $y$  に関するもっとも強い制約を与える不等式、すなわち  $a_i + q''$  が最小である不等式を  $c''$  とする。このとき (7) は以下と等価である。

$$\neg \exists y \{ (X, y) \text{ は } C \text{ と } c', c'' \text{ を同時に満たす} \} \quad (8)$$

これは、 $E_y(C, c', c'')$  が成立しないことを表しており、以上により十分性が証明された。□

$c' : x_j - y \leq q', c'' : y - x_i \leq q''$  に対して  $E_y(C, c', c'')$  の真偽は以下のようにして判定できる。

[ $E_y(C, c', c'')$  の判定]

- (a)  $G_C$  上で  $v_i$  から  $v_j$  への道がないならば、偽である。
- (b)  $G_C$  上で  $v_i$  から  $v_j$  への道があるならば、
  - (b-i)  $d(v_i, v_j) > q' + q''$  ならば、偽である。
  - (b-ii)  $d(v_i, v_j) \leq q' + q''$  ならば、真である。

上記判定法の正当性について以下で述べる。 $x_j - y \leq q', y - x_i \leq q''$  に対して、明らかに以下が成り立つ。

$$x_j - x_i \leq q'' \Leftrightarrow \exists y \{ x_j - y \leq q' \wedge y - x_i \leq q'' \} \quad (9)$$

(a) の場合には、任意の整数  $q$  に対して  $x_j - x_i = q$  と  $C$  を満たす非負整数  $x_i, x_j$  が存在するので、 $x_j - x_i \leq q' + q''$  を満たさない  $C$  の非負整数解  $x_i = a_i, x_j = a_j$  が存在する。すなわち、 $a_j - a_i > q' + q''$ 。(9) より、 $a_j - y \leq q', y - a_i \leq q''$  を満たす  $y$  は存在しないことがわかる。よって、 $E_y(C, c', c'')$  は偽である。(b-i) の場合には、 $d(v_i, v_j) > q' + q''$  と (6) より  $x_j - x_i \leq q' + q''$  を満たさない  $C$  の非負整数解  $x_i = a_i, x_j = a_j$  が存在する。すなわち、 $a_j - a_i > q' + q''$ 。(9) より、 $a_j - y \leq q', y - a_i \leq q''$  を満たす  $y$  は存在しないことがわかる。よって、 $E_y(C, c', c'')$  は偽である。(b-ii) の場合には、 $d(v_i, v_j) \leq q' + q''$  と (6) より  $C$  の任意の非負整数解  $x_i, x_j$  に対して  $x_j - x_i \leq q' + q''$  が成り立つ。よって、(9) より  $C$  の任意の非負整数解  $x_i, x_j$  に対して  $x_j - y \leq q', y - x_i \leq q''$  を満たす非負整数  $y$  は存在する。したがって、 $E_y(C, c', c'')$  は真である。 $G_C$  上で  $v_i$  から  $v_j$  への道があり、 $d(v_i, v_j) \leq q' + q''$  であることは Bellman-Ford のアルゴリズムによって  $O(lm)$  で判定可能である。

## 5 検証システム

文献[5]の安全性の検証システムは、プロトコル機械の定義、不变式の記述のために検証者が導入した定義述語および定義関数の性質、不变式であることを示そうとする論理式 $F$ を入力として、3.3で述べた安全性の検証手続きを実行する。ただし、検証を効率よく行なうためにプロトコル機械のアクションの遷移条件 $C$ と $F$ 中のAF4型原子式はすべて差分制約であるとしている。入力される論理式 $F$ は必ずしも積和形をしている必要はない、 $F$ が積和形をしていない場合には、検証システムが入力された $F$ を積和形に展開する。文献[5]の安全性の検証システムに、4.3.で述べた縮退到達可能性グラフ $DRG_{\Pi}$ の部分グラフである $DRG'_{\Pi}$ の生成および $DRG'_{\Pi}$ 上の探索を行なう手続きを追加した。これにより、検証システムは、上記の入力に加えて、性質 $Q$ を入力として安全性および $Q$ -live性の検証を行なうことができる。検証システムはC言語、lex、yaccで記述されており、UNIX環境下で動作している。 $Q$ -live性の検証のために新たに記述した部分は約6000行である。

## 6 例プロトコルの検証実験の結果

本検証法の有効性を確認するために、試作した検証システムを用いて、文献[8]で規定されるOSIセッションプロトコルのカーネル、全二重、大同期、小同期機能単位のデータ転送フェーズを抽出したプロトコル $\Pi_{session} = (PMA, PMB)$ が $P_i$ -live( $1 \leq i \leq n$ )であることを検証した。プロトコルの抽出にあたっては、大同期および小同期設定用のトークンを一つのトークンで共用するなどの簡単化を施している。 $PMA$ と $PM_B$ は初期状態でトークンを持っているか持っていないかが異なる点を除いては同型である。プロトコル機械の有限制御部の状態数は10、レジスタは2本、送受信するメッセージ型は12種類、アクションの数は22である。プロトコル機械のアクションの遷移条件 $C$ はすべて差分制約である。まず、 $\Pi_{session}$ の初期状態から到達可能であると想定している状態の集合を144個の部分集合に分割して、 $\Pi_{session}$ の不变式であると思われる論理式を記述し、文献[5]の検証システムを用いて $\Pi_{session}$ の安全性を検証した。 $Q$ -liveの検証時には、これらの状態集合をその集合中の各状態において(1) $PM_B$ から $PMA$ への通信路が空であるかどうか、(2) $PMA$ から $PM_B$ への通信路が空であるかどうか、(3) $PMA$ がMIAを送信できる( $VMA > VAA$ )か、送信できない( $VMA = VAA$ )、(4) $PM_B$ がMIAを送信できる( $VM_B > VA_B$ )か、送信できない( $VM_B = VA_B$ )によってさらに分割したため、状態集合の数は480に増加した。これらの状態集合に基づいて記述した論理式 $F$ 中のAF4型原子式はすべて差分制約であり、 $F$ 中のAF1-AF4型原子式は積和形に展開される前ではそれぞれ30、30、46、471個である。定義述語および定義関数の性質は10個の条件付き書換え規則、7個の条件付き関係式からなる[5]。検証システムを用いて $\Pi_{session}$ の安全性および $P_i$ -live性の検証をUNIXワークステーション(NWS-5000、64MB)上で行なった。 $\Pi_{session}$ の $P_i$ -live性( $1 \leq i \leq n$ )が示され、 $\Pi_{session}$ の初期状態から到達可能

な任意の状態から $P_i$ ( $1 \leq i \leq n$ )を満たす状態へ到達可能であることが検証できた。 $\Pi_{session}$ の安全性、 $P_i$ -live性の検証に要したCPU時間はそれぞれ約40秒、約60秒、使用したメモリはそれぞれ約6MB、約7MBであった。検証時に生成されたグラフ $DRG'_{\Pi} = (V, E'_S \cup E'_R)$ の規模は $|V| = 480, |E'_S| = 1566, |E'_R| = 1300$ であった。 $P_i$ -live性の検証時に成立を判定したAF2型、AF3型原子式の数はそれぞれ96157、2432、Bellman-Fordのアルゴリズムを呼び出した回数は27628回であった。

## 7 あとがき

本報告では、livenessを $Q$ -live性として定式化し、プロトコル機械が有限制御部と有限個の非負整数值レジスタを持つ拡張有限状態機械でモデル化され、通信路が非有界FIFOでモデル化された通信プロトコルの $Q$ -live性の検証法を提案した。さらに、提案した検証法に基づく検証システムを試作した。また、試作した検証システムを用いて、OSIセッションプロトコルの一部の機能単位を抽出したプロトコルに対して、 $Q$ -live性の検証を行なった。試作した検証システムでは検証を効率よく行なうためにプロトコル機械のアクションの遷移条件 $C$ と不变式 $F$ 中のAF4型原子式はすべて差分制約であるとしているが、実用プロトコルに対しては十分に検証を行なうことができる。今後は、OSIセッションプロトコル全体の検証作業に本検証法を適用していく予定である。

## 参考文献

- [1] Brand D. and Zafiropulo P.: "On Communicating Finite-State Machines", Journal of ACM, vol.30, no.2, pp.323-342(1983).
- [2] Clarke E.M., Emerson E.A. and Sistla A.P.: "Automatic Verification of Finite-State Concurrent System Using Temporal Logic Specification", ACM Trans. Program. Lang. Syst., vol.8, no.2, pp.244-263 (1986).
- [3] Finkel A.: "A New Class of Analyzable CFSMs with Unbounded FIFO Channels", Proc. 8th Intern. Symp. on PSTV, pp.283-294 (1988).
- [4] Pachl J.: "Protocol Description and Analysis Based on a State Transition Model with Channel Expressions", Proc. 7th Int'l Workshop on PSTV, pp.207-219, (1987).
- [5] Higuchi M., Shirakawa O., Seki H., Fujii M. and Kasami T.: "A Verification Method via Invariant for Communication Protocols Modeled as Extended Communicating Finite-State Machines", IEICE Trans. Commun. vol.E-76B, no.11, pp.1363-1372 (1993).
- [6] 東野、北道、谷口: "整数上の線形制約の処理と応用", コンピュータソフトウェア, vol.9, no.6, pp.31-39 (1992).
- [7] Cormen T., Leiserson C. and Rivest R. : "Introduction to Algorithms", The MIT Press, pp.539-543 (1990).
- [8] ISO: "Basic Connection Oriented Session Protocol Specification", ISO 8327.